

مقاله پژوهش

بررسی ریزنشت ترمیمهای رزینی چسبنده محافظه کارانه در دندانهای پرمولر با استفاده از تکنیک «پلیمریزاسیون هدایت شده»: یک مطالعه آزمایشگاهی

مرضیه صاحب نسق^۱، فاطمه مظہری^۲، وحیده معتمدالصنایع^{۳*}، سید امیر رضوی سطوتی^۴

^۱ استادیار دندانپزشکی کودکان، دانشکده دندانپزشکی، دانشگاه علوم پزشکی خراسان شمالی، بجنورد، ایران

^۲ عضو مرکز تحقیقات مواد دندانی و دانشیار بخش کودکان دانشکده دندانپزشکی مشهد، ایران

^۳ استادیار دندانپزشکی ترمیمی و زیبائی، دانشکده دندانپزشکی، دانشگاه علوم پزشکی خراسان شمالی، بجنورد، ایران

^۴ استادیار جراحی و درمان ریشه دندان، دانشکده دندانپزشکی، دانشگاه علوم پزشکی خراسان شمالی، بجنورد، ایران

*نویسنده مسئول: بجنورد، دانشکده پزشکی، دانشگاه علوم پزشکی خراسان شمالی

پست الکترونیک: motamedv871@yahoo.com

وصول: ۹۲/۳/۱۳ اصلاح: ۹۲/۵/۲۸ پذیرش: ۹۲/۶/۱۶

چکیده

زمینه و هدف: انقباض ناشی از پلیمریزاسیون از علل ریزنشت لبه ای در مواد ترمیمی همنگ دندان می باشد. یکی از راههای پیشنهادی جهت رفع این مشکل، کاربرد روش "پلیمریزاسیون هدایت شده" می باشد. هدف از این مطالعه بررسی تاثیر روش "پلیمریزاسیون هدایت شده" بر میزان ریزنشت ترمیم های رزینی چسبنده محافظه کارانه (*CARR= Conservative Adhesive Resin Restoration*) در دندانهای پرمولر با استفاده از دو دستگاه لایت کیور متفاوت است.

مواد و روش کار: این مطالعه آزمایشگاهی بر روی ۷۲ دندان پرمولر تازه کشیده شده فاقد پوسیدگی و ترک انجام شد. بعد از تهیه حفره در سطح اکلوزال، نمونه ها بصورت تصادفی به ۱۲ زیر گروه ۶ تایی تقسیم شده و پس از پرنمودن حفرات تهیه شده با سیستم ترمیمی کامپوزیت Z-250 عملیات نوردهی در گروه های آزمایش (نوردهی از ورای ساختمان دندان)، کنترل اول (نوردهی به روشن معمول) و کنترل دوم (نوردهی با زمان افزایش یافته) توسط شدتهای بالا و پایین دو دستگاه *Light-emitting diode (LED)* و *Quartz-tungsten-halogen (QTH)* بررسی شد. نتایج حاصله با استفاده از آزمون *Mann-whitney Kruskal-wallis* و *زگرسیون لجستیک* در سطح معنی داری $0.05 < 0.05$ مورد تجزیه و تحلیل آماری قرار گرفت.

یافته ها: روش "پلیمریزاسیون هدایت شده"، تاثیر معنی داری بر ریزنشت در هیچیک از گروه های مورد مطالعه نداشت. هیچیک از متغیرهای مستقل (نوع دستگاه لایت کیور، شدت دستگاه و پروتکل نوردهی) تاثیر قابل توجهی بر میزان ریزنشت نداشتند.

نتیجه گیری: در *CARR*، نوردهی با شدت بالاتر و زمان کوتاه تر (در طیف شدت ها و زمانهای مورد مطالعه) و صرفاً از سطح اکلوزال با استفاده از هر یک از دستگاه های *QTH* یا *LED* به منظور کاهش زمان کار کرد در دندانپزشکی کودکان پیشنهاد می شود.

واژه های کلیدی: ترمیم های رزینی چسبنده محافظه کارانه، ریزنشت، پلیمریزاسیون هدایت شده

مقدمه

پدیده ریزنشت در کودکان مشکل بیشتری ایجاد می کند، زیرا کف تهیه حفره در کودکان نزدیک پالپ بوده و ممکن است منجر به بروز آسیب غیرقابل برگشت به پالپ گردد [۷]. جهت به حداقل رساندن این پدیده، راهکارهایی که عبارتند از: توجه به فرمولاسیون کامپوزیت، طراحی شکل

انقباض ناشی از پلیمریزاسیون از علل ریزنشت در مواد ترمیمی همنگ دندان می باشد، زیرا منجر به بروز نقص در فرآیند باندینگ شده و یکپارچگی لبه ای را با اشکال مواجه می سازد و منجر به ریزنشت می شود [۱-۶].

هدایت شده" به واقع موثر است یا خیر، اهمیت بیشتری پیدا می کند زیرا انجام این تکنیک زمان بیشتری نسبت به روش نوردهی معمول به خود اختصاص می دهد. با توجه به اینکه تاکنون مطالعه ای در این زمینه صورت نپذیرفته است، برآن شدیم تا تاثیر تکنیک "پلیمریزاسیون هدایت شده" را بر انقباض حین پلیمریزاسیون ترمیمهای رزینی چسبنده محافظه کارانه که نشانه بالینی آن بصورت ریزنشت بروز می کند را در شدت‌ها و پروتکلهای نوردهی متفاوت، با استفاده از دو دستگاه کیورینگ QTH و LED مورد ارزیابی قرار دهیم.

روش کار

در این مطالعه آزمایشگاهی، تعداد ۷۲ دندان پرمولر سالم که فاقد ترک و پوسیدگی بوده و به اهداف ارتدونسی کشیده شده بودند (با عرض باکولینگوالی تقریباً یکسان حدوداً (9 ± 0.2 mm) میلیمتر) جمع آوری شدند. بعد از نگهداری به مدت حداقل ۲۴ ساعت در محلول تیمول ۲٪ جهت ضدعفونی، ابدا دندانها با خمیر حاصل از پودر پامیس و آب، تمیز شدند. توسط فرز فیشور الماسه شماره ۳۳۰ حفراتی به ابعاد $3\times2\times2$ (به ترتیب از راست عرض، عمق و طول) در سطح اکلوزال تراشیده می شد. فرز بعد از هر ۵ تهیه حفره تعویض می گردید. سپس نمونه ها به طور تصادفی به ۱۲ زیر گروه ۶ تایی تقسیم می شد. در هر زیر گروه بعد از شستشو و خشک کردن حفرات، ژل اسید Kimia co, serial no: 01072018، (۳۵٪) Fissavik (Iran) به کمک میکروبراش و طی دو حرکت (از مزیال به دیستال و برعکس) در داخل حفره قرار می گرفت و بعد ۲۰ ثانیه، شستشو توسط پوآر آب به مدت ۱۵ ثانیه انجام می گرفت. سپس حفره به مدت ۵ ثانیه توسط پوآر هوا Single Bond (3M ESPE, St.Paul, MN, USA) خشک می گردید و ماده باندینگ عاجی (conservative resin restorations)، که قبلًاً ترمیمهای رزینی پیشگیرانه (preventive resin restorations) نامیده می شدند، نقش بسزایی در کنترل پوسیدگیها و درمانهای پیشگیرانه در دندانپزشکی کودکان دارند [۸-۷]. ماده ترمیمی کامپوزیت (3M dental product, Z-250 (3M dental product, Z-250) به رنگ A2 در یک لایه درون حفره تهیه شده گذاشته شده و توسط برنسیتر با دیواره های خارجی حفره کاملاً تطابق می یافت و سپس عملیات

حفره و در نظر گرفتن C فاکتور، استفاده از تکنیک لایه ای در قراردادهی کامپوزیت درون حفره تهیه شده، کاربرد لاینرهای بینایینی به عنوان جاذب استرس، استفاده از روشهای کیورینگ غیرپیوسته، توجه به کل انرژی نوری که تحويل کامپوزیت می شود و هدایت جهت بردارهای انقباضی کامپوزیت به سمت دیواره های حفره توصیه شده است [۱۴-۸,۶-۴,۲]. فاکتور آخر که پلیمریزاسیون هدایت شده "Guided Polymerization" نامیده می شود، بر این فرضیه مبنی است که کامپوزیت رزین های نوری در حین پلیمریزاسیون به سمت منبع نور کشیده می شوند [۱۵]، البته صحت این فرضیه مورد سوال است [۱۰-۱۶,۱۵]. بنابراین با توجه به اینکه کاربرد این تکنیک در مقایسه با روش معمول نوردهی که فقط از سمت اکلوزال صورت می گیرد، مدت زمان بیشتری می برد، لازم است تاثیرات مثبت احتمالی آن ثابت گردد. لوح^۱ در مطالعه ای آزمایشگاهی اثر تکنیک "پلیمریزاسیون هدایت شده" را بر میزان انطباق ترمیمهای کامپوزیتی در حفرات کلاس II بررسی نمود. نتیجه این مطالعه نشان داد که علت نتایج خوب در کاهش ریزنشت در این تکنیک به علت کاهش شدت نور است [۱۴]. هافمن^۲ و همکاران در پژوهشی به منظور بررسی تاثیر شدت اشعه بر پلیمریزاسیون کامپوزیتهای با پایه رزینی نشان دادند که تلاش برای هدایت بردارهای انقباضی به سمت لبه های سرویکالی حفره کلاس V، سیل لبه ای را با مخاطره مواجه می سازد [۱۶]. همچنین ورس لوئیس^۳ و همکاران خاطرنشان کردند که شرایط فرآیند باندینگ، جهت بردارهای انقباض را تعیین می کند نه جهت نوردهی [۱۰].

ترمیمهای رزینی چسبنده محافظه کارانه (adhesive resin restorations)، که قبلًاً ترمیمهای رزینی پیشگیرانه (preventive resin restorations) نامیده می شدند، نقش بسزایی در کنترل پوسیدگیها و درمانهای پیشگیرانه در دندانپزشکی کودکان دارند [۸-۷]. به همین دلیل این موضوع که آیا تکنیک "پلیمریزاسیون

1 -Losche

2-Hoffman

3-Versluis

- (گروه D2): نوردهی با دستگاه بلوفارز (LED)، شدت 1100mw/cm^2 و زمان ۱۵ ثانیه از سمت اکلوزال (گروه کنترل اول – روش معمول)

- (گروه D3): نوردهی با دستگاه بلوفارز (LED)، شدت 1100mw/cm^2 و زمان ۲۲ ثانیه از سمت اکلوزال (گروه کنترل دوم-افزایش زمان)

شدت نور دستگاهها قبل از کار با رادیومتر (Coltolux light meter, Model No C7900, Coltene\WhaledentInc آزمایش می گردید.

بلافاصله بعد از نوردهی، دندانها درون ظروف آب مقطر ضد نور به مدت ۲۴ ساعت در حرارت 37°C درون انکوباتور نگهداری شدند، سپس عمل ترموسیکلینگ ($5-55^\circ\text{C}$) به میزان ۱۰۰۰ دور روی نمونه ها صورت گرفت. در ادامه انتهای ریشه های دندانها با موم چسب و بقیه بخش های دندان تا فاصله ۱ میلیمتری لبه ترمیم توسط دو لایه لاک پوشانده شد و دندانها به مدت ۲۴ ساعت در محلول فوشین ۲٪ قرار گرفتند. سپس دندانها در ابوقسی رزین مانت شده و توسط یک دیسک الماسه از وسط بصورت باکولینگوآلی برش داده شدند. سپس دو سطح هر نمونه جهت بررسی میزان نفوذ رنگ با استفاده از استرئومیکروسکوپ نوری با بزرگنمایی ۴۰ برابری شدند و بالاترین score حاصله، به عنوان score هر دندان محسوب گردید.

روش تعیین شدت و مدت زمان نوردهی در گروه های کنترل

* گروه کنترل اول (روش معمول): شدت و مدت زمان معمول توصیه شده توسط کارخانه سازنده

* گروه کنترل دوم (افزایش زمان) : جهت تعیین میزان

افزایش زمان در این گروه، ابتدا با استفاده از $\text{Power density} \times \text{Exposure time} = \text{Energy}$ معادله density تراکم انرژی در گروه آزمایش مربوطه مشخص شد و با جایگزینی تراکم انرژی و شدت اشعه در فرمول، مدت زمان نوردهی برای نمونه های این گروه به دست آمد.

به عنوان مثال در گروه آزمایش دستگاه آسترالیس ۷ با شدت پایین که نوردهی با شدت 400mw/cm^2 ، ابتدا از سمت باکال و بعد لینگوال هر کدام ۲۰ ثانیه و سپس اکلوزال (گروه اکلوزال ۴۰ ثانیه انجام می شد، تراکم انرژی با روش زیر،

نوردهی به صورت زیر در هر یک از زیر گروه ها انجام می پذیرفت:

- (گروه A1): نوردهی با دستگاه آسترالیس ۷ (Astralis 7(Ivoclar Vivadent, Schaan, Liechtenstein) شدت 400mw/cm^2 ، ابتدا از سمت باکال و بعد لینگوال هر کدام ۲۰ ثانیه و سپس اکلوزال ۴۰ ثانیه (گروه آزمایش)

- (گروه A2): نوردهی با دستگاه آسترالیس ۷، شدت 400mw/cm^2 و زمان ۴۰ ثانیه از سمت اکلوزال (گروه کنترل اول – روش معمول)

- (گروه A3): نوردهی با دستگاه آسترالیس ۷، شدت 400mw/cm^2 و زمان ۵۰ ثانیه از سمت اکلوزال (گروه کنترل دوم-افزایش زمان)

- (گروه B1): نوردهی با دستگاه آسترالیس ۷، شدت 750mw/cm^2 ، ابتدا از سمت باکال و بعد لینگوال هر کدام ۱۰ ثانیه و سپس اکلوزال ۲۲ ثانیه (گروه آزمایش)

- (گروه B2): نوردهی با دستگاه آسترالیس ۷، شدت 750mw/cm^2 و زمان ۲۲ ثانیه از سمت اکلوزال (گروه کنترل اول – روش معمول)

- (گروه B3): نوردهی با دستگاه آسترالیس ۷، شدت 750mw/cm^2 و زمان ۲۸ ثانیه از سمت اکلوزال (گروه کنترل دوم-افزایش زمان)

- (گروه C1): نوردهی با دستگاه بلوفارز (LED)، (Ivoclar Vivadent, Schaan, Liechtenstein) شدت 650mw/cm^2 ، ابتدا از سمت باکال و بعد لینگوال هر کدام ۱۲ ثانیه و سپس ۲۵ ثانیه از سمت اکلوزال (گروه آزمایش)

- (گروه C2): نوردهی با دستگاه بلوفارز (LED)، شدت 650mw/cm^2 و زمان ۲۵ ثانیه از سمت اکلوزال (گروه کنترل اول – روش معمول)

- (گروه C3): نوردهی با دستگاه بلوفارز (LED)، شدت 650mw/cm^2 و زمان ۳۴ ثانیه از سمت اکلوزال (گروه کنترل دوم-افزایش زمان)

- (گروه D1): نوردهی با دستگاه بلوفارز (LED)، شدت 1100mw/cm^2 ، ابتدا از سمت باکال و بعد لینگوال هر کدام ۸ ثانیه و سپس ۱۵ ثانیه از سمت اکلوزال (گروه آزمایش)

میزان ریزنشت با کمک استرئومیکروسکوپ نوری با بزرگنمایی ۴۰ به روش "نفوذ رنگ" و با استفاده از معیارهای زیر سنجیده شد:

- ۰ = صفر (هیچ نفوذی از رنگ وجود ندارد).
- ۱ = نفوذ رنگ به کمتر از ۱/۲ دیواره شیار
- ۲ = نفوذ رنگ به بیشتر از ۱/۲ دیواره شیار
- ۳ = نفوذ رنگ به فراتر از عمق شیار.

جهت تعیین شدت نور داده ها از نرم افزار SPSS 16 استفاده گردید. در توصیف داده ها از توزیع فراوانی مطلق و نسبی استفاده شد و در تحلیل داده ها از آزمون رگرسیون لجستیک جهت تعیین اثر متقابل میان متغیرهای مستقل، آنالیز Kruskal-wallis برای مقایسه میان گروه آزمایش و گروههای کنترل و آزمون Mann-Whitney جهت مقایسه دو به دوی میان زیر گروه ها استفاده شد.

یافته ها

در جداول ۱ و ۲، فرآیند نوردهی با استفاده از دستگاههای QTH و LED در گروههای کنترل و آزمایش توصیف شده اند. در جدول ۳، نحوه محاسبه شدت اشعه نهایی رسیده به کامپوزیت پس از عبور از ضخامت ۳/۵ میلی متری نمونه های دندانی در گروه آزمایش، بر اساس آزمایش (پلیمریزاسیون هدایت شده) با گروههای کنترل در دستگاهها و شدت های نوردهی مورد مطالعه به صورت ذیل می باشد:

با توجه به جدول ۴، از نظر میزان ریزنشت در ترمیمهای انجام شده با پروتکل های متفاوت نوردهی بین گروه آزمایش و گروه های کنترل با استفاده از دستگاه QTH با شدت پایین ($P=0.475$) یا LED با شدت پایین ($P=0.154$) تفاوت معنی داری مشاهده نگردید. همچنین این نتایج برای شدتهاي بالاي اين دو دستگاه لاييت كيور نيز صادق بود. P-value LED QTH و P-value Mann-Whitney U test با شدتهاي بالا به ترتيب معادل ۰/۳۲۷ و ۰/۵۷۰ به دست آمد (جدول ۵).

مقایسه دو دستگاه لایت کیور با استفاده از آزمون Mann-Whitney U test، نشان داد که اختلاف آماری معنی داری میان گروههای کنترل و گروه آزمایش وجود ندارد.

۲۰۱۶۰ محاسبه گردید. (از شدت اولیه ۴۰۰، پس از گذشت از ورای دندان، شدت ۱۰۴ به ترمیم می رسید که روش دقیق احتساب آن در قسمت بعدی (روش تعیین شدت نور) توضیح داده خواهد شد.

$$[20160 = (400 \times 400) + (104 \times 20) + (104 \times 20)]$$

سپس با تقسیم عدد مزبور بر شدت دستگاه در این گروه $A_3 = 50 / 400 = 0.125$ ، مدت زمان نوردهی در گروه A_3 (۵۰ ثانیه) به دست آمد.

به همین ترتیب مدت زمان نوردهی برای سایر گروههای با افزایش زمان به ترتیب به میزان ۲۸ ثانیه، ۳۴ ثانیه و ۳۸ ثانیه برای گروههای B_3, C_3, D_3 محاسبه شد.

روش تعیین شدت نور: با توجه به اینکه در گروه آزمایش (روش پلیمریزاسیون هدایت شده) نوردهی از ورای ساختمان دندان انجام می شد، ابتدا لازم بود میزان شدت اشعه ای که از ورای ضخامت ۳/۵ میلیمتری نسج دندانی (از آنجاییکه عرض باکولینگوآلی دندانها بطور متوسط ۹ میلیمتر بود و شیارها به عرض ۲ میلیمتر درست در وسط بعد باکولینگوآلی دندان قرار داشت، پس در هر طرف ۳/۵ میلیمتر از نسج دندانی باقی می ماند) به ترمیم می رسید، تعیین گردید. به همین منظور یک Pilot study طراحی گردید و ابتدا برشهای دندانی به ضخامت ۳/۵ میلیمتر تهیه شد. برای دستگاههای QTH و LED و شدتهاي کم و زياد آنها هر کدام ۶ نمونه (در مجموع ۲۴ نمونه) تهیه شد و به کمک Photocell، serial no: 6404، دستگاه فتوسل (Moolian Toos Co. Ltd, Iran) میزان افت شدت نور پس از عبور از ساختمان دندانی در تمامی نمونه ها اندازه گیری شد (تصویر ۱) و میانگین اعداد حاصله در هر گروه به عنوان نتیجه نهایی مورد استفاده قرار گرفت. عنوان مثال برای شدت پایین دستگاه LED، به طور متوسط $650 = 240 \text{ mw/cm}^2 \times 0.37\%$ شدت نور اولیه دستگاه يعني 144 mw/cm^2 دستگاه LED پایین دستگاه QTH، به ترمیم می رسید. همچنین برای شدت بالای دستگاه LED $1100 = 41 \times 1100 \text{ mw/cm}^2 \times 0.41\%$ و شدت بالای دستگاه QTH $450 = 225 \text{ mw/cm}^2 \times 0.26\%$ شدت نور به ترمیم می رسید.

جدول ۱: توصیف فرآیند نوردهی با استفاده از دستگاه QTH* در گروههای کنترل و آزمایش

انرژی دانسیته (J/cm ²)	پروتکل نوردهی (جهت / مدت)	گروه	شدت
۲۰/۱۶	باکال ۲۰ ثانیه / لینگوآل ۴۰ ثانیه / اکلوزال	آزمایش	شدت پائین ۴۰۰ mW/cm ²
۱۶	اکلوزال ۴۰ ثانیه	کنترل اول (روش معمول)	
۲۰	اکلوزال ۵۰ ثانیه	کنترل دوم (زمان افزایش یافته)	
۲۱	باکال ۱۰ ثانیه / لینگوآل ۱۰ ثانیه / اکلوزال ۲۲ ثانیه	آزمایش	شدت بالا ۷۵۰ mW/cm ²
۱۶/۵	اکلوزال ۲۲ ثانیه	کنترل اول (روش معمول)	
۲۱	اکلوزال ۲۸ ثانیه	کنترل دوم (زمان افزایش یافته)	

*Astralis 7 (Ivoclar Vivadent, Schaan, Liechtenstein)

جدول ۲: توصیف فرآیند نوردهی با استفاده از دستگاه LED* در گروههای کنترل و آزمایش

انرژی دانسیته (J/cm ²)	پروتکل نوردهی (جهت / مدت)	گروه	شدت
۲۲/۰/۱	باکال ۱۲ ثانیه / لینگوآل ۱۲ ثانیه / اکلوزال ۲۵ ثانیه	آزمایش	شدت پائین ۶۵۰ mW/cm ²
۱۶/۲۵	اکلوزال ۲۵ ثانیه	کنترل اول (روش معمول)	
۲۲/۱	اکلوزال ۳۴ ثانیه	کنترل دوم (زمان افزایش یافته)	
۲۳/۷	باکال ۸ ثانیه / لینگوآل ۸ ثانیه / اکلوزال ۱۵ ثانیه	آزمایش	شدت بالا ۱۱۰۰ mW/cm ²
۱۶/۵	اکلوزال ۱۵ ثانیه	کنترل اول (روش معمول)	
۲۴/۲	اکلوزال ۲۲ ثانیه	کنترل دوم (زمان افزایش یافته)	

* Blue phase (Ivoclar Vivadent, Schaan, Liechtenstein)

جدول ۳: شدت اشعه نهایی رسیده به کامپوزیت پس از عبور از ضخامت ۳/۵ میلی متری نمونه های دندانی در گروه آزمایش

نوع دستگاه	شدت اولیه اشعه (mW/cm ²)	درصدی از اشعه اولیه که به کامپوزیت می رسد	شدت اشعه نهائی رسیده به کامپوزیت (mW/cm ²)
QTH			
	۱۰۴	%۲۶	
	(۴۰۰ × %۲۶)		کم (۴۰۰)
	۲۲۵	%۳۰	زياد (۷۵۰)
	(۷۵۰ × %۳۰)		
LED			
	۲۴۰	%۳۷	
	(۶۵۰ × %۳۷)		کم (۶۵۰)
	۴۵۰	%۴۱	زياد (۱۱۰۰)
	(۱۱۰۰ × %۴۱)		

جدول ۴: توزیع فراوانی ریز نشت در ترمیمهای انجام شده با پروتکل های متفاوت نوردهی با استفاده از دستگاههای QTH و LED با شدت پایین

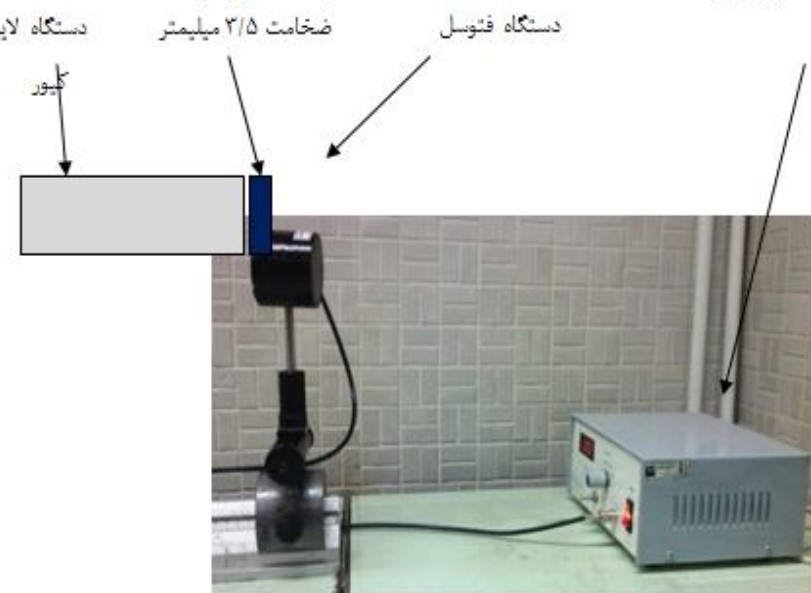
جدول ۵: توزیع فراوانی ریز نشت در ترمیمهای انجام شده با پروتکل های متفاوت نوردهی
با استفاده از دستگاههای LED و QTH با شدت بالا

ریز نشت									دستگاه لایت کیور
درصد	تعداد	درصد	تعداد	درصد	تعداد	درصد	تعداد		
۵۰	۳	۰	۰	۰	۰	۵۰	۳	آزمایش	QTH
۰	۰	۰	۰	۱۶/۷	۱	۸۳/۳	۵	کنترل اول	
۰	۰	۰	۰	۱۶/۷	۱	۸۳/۳	۵	کنترل دوم	
				۰/۳۲۷				P-value	آزمون kruskalwallis
۱۶/۷	۱	۰	۰	۳۳/۳	۲	۶۶/۷	۴	آزمایش	LED
				۳۳/۳	۲	۵۰	۳	کنترل اول	
				۰/۵۷۰				P-value	آزمون kruskalwallis

دستگاه مولتی مر

که درصدی از شدت اشعه اولیه که از تمoteه دتداتی عبور

می کند را تسانان می دهد



تصویر ۱: دستگاه فتوسل برای تعیین درصدی از شدت اشعه اولیه اشعه است که از ضخامت ۳/۵ میلیمتری تمoteه دتداتی در گروه آزمایش گذشته و به کامبوزیت می رسد.

مطابق دستورالعمل و مدت زمان توصیه شده توسط کارخانه سازنده دستگاه لایت کیور صورت می‌گرفت. با توجه به اینکه نمونه‌ها در گروه آزمایش علاوه بر نوردهی از سمت اکلوزال، از ورای سطوح باکال و لینگوال نیز نور دریافت می‌کردند، بنابراین کل زمان نوردهی و متعاقباً تراکم انرژی که به ترمیم می‌رسید، نسبت به روش معمول (گروه کنترل اول) افزایش می‌یافتد که می‌توانست در صورت وجود نتایج بهتر در گروه آزمایش، یکی از دلایل بهبود سیل لبه ای (علاوه بر جهت نوردهی) تقاضا شود و بنابراین یک فاکتور مداخله گر محسوب می‌شد. به منظور رفع این مشکل گروه کنترل دوم در نظر گرفته شد که در این گروه، نوردهی از سمت اکلوزال و با تراکم انرژی مشابه با گروه آزمایش صورت پذیرفت.

نتایج این مطالعه نشان داد که روش نوردهی بصورت "پلیمریزاسیون هدایت شده" در ترمیم‌های محافظه کارانه موجب کاهش ریزنشت نمی‌گردد. مطالعات متعددی تاثیر روش "پلیمریزاسیون هدایت شده" را بر تطابق و سیل لبه ای رد نموده و در عوض بر تاثیر شدت نور تاکید نموده اند [۱۵-۱۶]. البته در مقابل، تحقیقاتی نیز کاربرد موثر روش "پلیمریزاسیون هدایت شده" را در بهبود تطابق و سیل لبه ای حفره گزارش کرده اند [۱۷-۱۸].

با توجه به سیل لبه ای بهتر ترمیم‌ها در شدت‌های پایین و در مراحل اولیه پلیمریزاسیون [۱۹، ۲۰، ۲۱]، روش‌های soft-start polymerization در آنها نوردهی بصورت غیر پیوسته و ابتدا با شدت پایین اعمال شده و سپس با شدت بالا دنبال می‌گردد.

تفاوت در نوع ماده ترمیمی به کار رفته [۲۴-۲۰] [مقادیر مختلف آغازگرهای نوری موجود در ساختار کامپوزیتها [۲۱] و C-factor [۲۲]] از علل اختلاف در مطالعات مختلف می‌باشد. همچنین تحقیقات اخیر مدارکی فراهم نموده که نشان می‌دهد، انقباض ناشی از پلیمریزاسیون متأثر از شرایط باندینگ (Boundary conditions) می‌باشد [۱۰، ۱۲] و به سمت دیواره‌هایی از حفره اتفاق می‌افتد که باند قویتری دارند و این موضوع به روش و جهت نوردهی ربطی ندارد [۲۵]. از سوی دیگر کنترل دقیق میزان و جایگذاری ماده و قراردهی مناسب اچانت، پرایمر

نتایج آزمون رگرسیون لجستیک نشان داد که اثر متقابلی میان متغیرهای مستقل مورد مطالعه اعم از نوع دستگاه لایت کیور، شدت دستگاهها و پروتکل نوردهی وجود ندارد ($P > 0.05$).

بحث

نتایج این مطالعه نشان داد که روش "پلیمریزاسیون هدایت شده"، تاثیر معنی داری بر ریزنشت در هیچ‌کدام از گروه‌های مورد مطالعه ندارد. همچنین هیچ‌کدام از متغیرهای مستقل (نوع دستگاه لایت کیور، شدت دستگاه و پروتکل نوردهی) تاثیر قابل توجهی بر میزان ریزنشت ندارند.

ماده ترمیمی مورد استفاده در ترمیمهای رزینی چسبنده محافظه کارانه، مواد همنگ با پایه رزین است که پتانسیل انقباض طی پلیمریزاسیون دارند. با توجه به اینکه حصول سیل لبه ای مطلوب در این درمانها نقش اساسی در اثرات ضد پوسیدگی آنها ایفا می‌کند و از سوی دیگر معمولاً این درمانها در سنین کودکی و نوجوانی انجام می‌شوند و کاهش زمان کار بالینی می‌تواند در کیفیت آنها تاثیرگذار باشد، بنابراین بر آن شدید تا اهمیت کاربرد تکنیک "پلیمریزاسیون هدایت شده" را در این درمان و در واقع تاثیر این روش را بر سیل لبه ای مورد مطالعه قرار دهیم. با توجه به اینکه امروزه دو دستگاه لایت کیور QTH و LED، متداولترین دستگاه‌های هدایت نوری مورد استفاده دندانپزشکان هستند، تاثیر کاربرد این روش با استفاده از هر یک از این دو دستگاه نیز با یکدیگر مقایسه شد. لازم به ذکر است که با اطلاعات در دسترس، تاکنون مطالعه‌ای در این زمینه صورت نگرفته است.

علت انتخاب دو گروه کنترل در این مطالعه بشرح ذیل می‌باشد: با توجه به اینکه در گروه آزمایش، نوردهی به روش "guided polymerization" گروههای کنترلی به منظور بررسی تاثیر آن و حذف فاکتورهای مداخله گر ترتیب داده شوند. در گروه آزمایش، نوردهی به این ترتیب بود که ابتدا نور از سمت باکال و لینگوال و از ورای نسج دندان، به ترمیم می‌رسید و در نهایت فرایند نوردهی از سمت اکلوزال تکمیل می‌گردید. "گروه کنترل اول" همان تکنیک نوردهی به روش معمول بود که در آن فرایند نوردهی فقط از سمت اکلوزال و

نوردهی مورد مطالعه (با شدت های کم یا زیاد) نتوانست موجب کاهش ریزنشت گردد.

۳- در درمان های پیشگیرانه مانند ترمیمهای رزینی چسبنده محافظه کارانه، روش معمول نوردهی از سمت اکلوزال، با شدت بالا و زمان کوتاه پیشنهاد می گردد تا مدت زمان کاری در کودکان به حداقل برسد.

تشکر و قدردانی

این طرح پژوهشی با کد ۸۹۳۳۲ و در تاریخ ۱۳۸۹/۷/۷ در شورای پژوهشی دانشکده دندانپزشکی مشهد به تصویب رسید که بدینوسیله از معاونت محترم پژوهشی این دانشکده به دلیل حمایت مالی جهت اجرای آن سپاسگزاری می گردد.

و ادھزیو روی ساختار دندانی برای بهبود باندینگ، انقباض ناشی از پلیمریزاسیون را کم می کند [۹] توجیه دیگر این اختلافات، استفاده از زمانها و شدت‌های متفاوت نوردهی و اختلافات در روش کار و شیوه ارزیابی می باشد [۲۶].

در رابطه با تاثیر نوع دستگاه بر ریزنشت، در مطالعه حاضر از دو دستگاه مورد استفاده معمول دندانپزشکان یعنی LED و QTH استفاده گردید و نتایج نشان داد که نوع دستگاه بر ریزنشت ترمیم موثر نمی باشد که از این جهت در توافق با نتایج رایتر، یپ^۱ و صادقی است [۲۷-۳۰]. در حالیکه سنسی^۲ ریزنشت کمتری را با دستگاه کیور LED در مقایسه با QTH استاندارد در حداصل عاج-سمان گزارش کرد [۳۱]. در توجیه این اختلافات می توان چنین عنوان نمود که تاثیر نوع دستگاه کیور کننده و روش نوردهی بر ریزنشت کامپوزیت ممکن است مربوط به ماده مورد استفاده باشد چرا که فرمولاسیون رزین نقش مهمتری نسبت به نوع دستگاه لایت کیور و روش نوردهی در فرآیند پلیمریزاسیون ایفا می کند [۲۹]. به هر حال مطالعات بیشتری برای حمایت از این یافته ها لازم است. از محدودیتهای این مطالعه عدم امکان دسترسی به دستگاههای برش دندانی با تیغه های ظرفیتر برای ارزیابی دقیقتر از میزان ریزنشت می باشد، علاوه بر این با بهره گیری از نتایج حاصله در مطالعات آزمایشگاهی لازم است مطالعات کلینیکی مشابه هم طراحی گردد تا عملکرد بالینی آنها نیز مورد بررسی قرار گیرد. در مجموع به نظر می رسد که در ترمیمهای رزینی چسبنده محافظه کارانه نور دهی از سمت اکلوزال کافی است و با توجه به زمان بری تکنیک "پلیمریزاسیون هدایت شده"، این روش به ویژه در کودکان توصیه نمی گردد.

نتیجه گیری

۱- هیچ یک از پروتکل ها و دستگاه های نور دهی استفاده شده نتوانست به طور کامل مانع بروز ریزنشت گردد.

۲- نوردهی به روش "پلیمریزاسیون هدایت شده" در ترمیمهای رزینی چسبنده محافظه کارانه، در دو دستگاه

References

1. Summit JB, Robbins JW, Hilton TJ, Schwartz RS , Santos JD, Fundamental of operative dentistry: A contemporary approach, 3th ed. Chicago, IL:Quintessence, 2006: p. 187-199.
2. Giachetti L, Russo DS, Bambi C and Grandini R, A review of polymerization shrinkage stress:Current techniques for posterior direct resin restorations, *J Contemp Dent Pract* 2006;7:079-88.
3. Mattei FP, Chain MC, Class I and Class V composite restorations: Influence of light-curing techniques on microleakage, *Rev Odonto Cienc* 2009;24:299-304.
4. Deliperi S, Bardwell DN, An alternative method to reduce polymerization shrinkage in direct posterior composite restorations, *J Am Dent Assoc* 2002;133:1387-98.
5. Ghavamnasiri M, Moosavi H, Tahvildarnejad N, Effect of centripetal and incremental methods in Class II composite resin restorations on gingival microleakage, *J Contemp Dent Pract* 2007;8:113-20[Persian].
6. Braga RR, Ferracane JL, Alternatives in polymerization contraction stress management, *Crit Rev Oral Biol Med* 2004;15:176-84.
7. Mc Donald RE, Avery DR, Dean JA, Dentistry for the Child and Adolescent, 9th ed. Philadelphia: Mosby Co, 2011: p. 60-65.
8. Pinkham JR, Casamassimo PS, McTigue DJ, Fields Hw, Nowak AJ, Pediatric dentistry: Infancy through adolescence, 4th ed. St.Louis: Elsevier Saunders co, 2005: p. 541-543.
9. Roberson TM, Heymann HO, Swift EJ, Sturdevant's art and science of operative dentistry, 5th ed. St.Louis: Saunders Co, 2006: p. 221-232.
10. Versluis A, Tantbirojn D, Douglas WH, Do dental composites always shrink toward the light? *J Dent Res* 1998;77:1435-45.
11. Lindberg A, Peutzfeldt A, van Dijken JW, Effect of power density of curing unit, exposure duration, and light guide distance on composite depth of cure, *Clin Oral Investig* 2005;9:71-6.
12. Loguercio AD, Reis A ,Schroeder M, Balducci I, Versluis A, Ballester RY, Polymerization shrinkage: effects of boundary conditions and filling technique of resin composite restorations, *J Dent* 2004;32:459-70.
13. Ilie N, Jelen E, Hickel R, Is the soft-start polymerisation concept still relevant for modern curing units? *Clin Oral Investig* 2011;15:21-9.
14. Ruttermann S, Tomruk S, Raab WH, Janda R, Effect of Energy Density on the Physical Properties of Resin-Based Restorative Materials when Polymerized with Quartz-Tungsten Halogen or LED-Light, *Eur J Dent* 2010;4:183-91.
15. Losche GM. Marginal adaptation of class II composite : Guided polymerization vs reduced light intensity, *J Adhes Dent* 1999;1:31-39.
16. Hofmann N, Hiltl O, Hugo B, Klaiber B, Guidance of shrinkage vectors vs irradiation at reduced intensity for improving marginal seal of class V resin-based composite restorations in vitro, *Oper Dent* 2002;27:510-5.
17. Lutz E, Krejci I, Oldenburg TR. Elimination of polymerization stresses at the margins of posterior composite resin restorations: a new restorative technique, *Quintessence Int* 1986;17:777-84.
18. de Goes MF, Rubbi E, Baffa O, Panzeri H, Optical transmittance of reflecting wedges, *Am J Dent* 1992;5:78-80.
19. Lima DA, De Alexandre RS, Martins AC, Aguiar FH, Ambrosano GM, Lovadino JR, Effect of curing lights and bleaching agents on physical properties of a hybrid composite resin, *J Esthet Restor Dent* 2008;20:266-73.
20. Deliperi S, Bardwell DN, Papathanasiou A, Effect of different polymerization methods on composite microleakage, *Am J Dent* 2003;16:73A-76A.
21. Santos AJ, Sarmento CF, Abuabara A, Aguiar FH, Lovadino JR, Step-cure polymerization: effect of initial light intensity on resin/dentin bond strength in class I cavities, *Oper Dent* 2006;31:324-31.
22. Fleming GJP, Cara RR, Palin WM, Burke FJT, Cuspal movement and microleakage in premolar teeth restored with resin-based filling materials cured using a 'soft-start' polymerisation protocol, *Dent Mater* 2007;23:637-43.
23. Uno S, Tanaka T, Natsuizaka A, Abo T, Effect of slow-curing on cavity wall adaptation using a new intensity-changeable light source, *Dent Mater* 2003;19:147-52.
24. Sahafi A, Peutzfeldt A, Asmussen E, Soft-start polymerization and marginal gap formation in vitro. *Am J Dent* 2001;14:145-7.
25. Alonso RC, Correr GM, Cunha LG, De Moraes Souto Pantoja CA, Puppin-Rontani

- RM, Sinhoreti MA, Modulated photoactivation methods--effect on marginal and internal gap formation of restorations using different restorative composites, *J Biomed Mater Res B Appl Biomater* 2007;82:346-51.
- 26.Kubo S, Yokota H, Hayashi Y, The effect of light-curing modes on the microleakage of cervical resin composite restorations, *J Dent* 2004;32:247-54.
- 27.Ritter AV, Cavalcante LM, Swift Jr EJ, Thompson JY, Pimenta LA, Effect of light-curing method on marginal adaptation, microleakage, and microhardness of composite restorations, *J Biomed Mater Res* 2006;78:302-11.
- 28.Attar N, Korkmaz Y. Effect of two light-emitting diode (LED) and one halogen curing light on the microleakage of class V flowable composite restorations, *J Contemp Dent Pract* 2007;8:080-88.
- 29.Yazici AR, Celik C, Dayangac B, Ozgunaltay G, Effects of different light curing units/modes on the microleakage of flowable composite resins, *Eur J Dent* 2008;2:240-6.
- 30.Sadeghi M, Influence of flowable materials on microleakage of nanofilled and hybrid Class II composite restorations with LED and QTH LCUs. *Indian J Dent Res* 2009;20:159-63[Persian].
- 31.Sensi LG, Lopes GC, Monteiro S, Baratieri LN, Vieira LC, Dentin bond strength of self-etching primers/adhesives, *Oper Dent* 2005;30:63-8.

Original Article

Microleakage evaluation of conservative adhesive resin restorations in premolar teeth using guided polymerization technique: An in vitro study

Sahebnasagh M¹, Mazhari F², Motamed Sanaye V^{3}, Razavi Satvati SA⁴*

¹Assistant Professor of Pediatric Dentistry, School of Dentistry, North University of Khorasan Medical Sciences, Bojnurd, Iran.

²Associate Professor of Pediatric Dentistry, Dental Material Research Center, School of Dentistry, Mashhad University of Medical Sciences, Mashhad, Iran

³Assistant Professor of Operative Dentistry, School of Dentistry, North Khorasan University of Medical Sciences, Bojnurd, Iran.

⁴Assistant Professor of Endodontics, School of Dentistry, North Khorasan University of Medical Sciences, Bojnurd, Iran.

***Corresponding Author:**

School of Dentistry, North University of Khorasan Medical Sciences, Bojnurd, Iran.

Emai:

motamedv871@yahoo.com

Abstract

Background & objectives: Polymerization shrinkage is a major problem in composite resin restorations and results in marginal leakage. This study evaluated the influence of guided polymerization on microleakage of conservative adhesive resin restorations (CARRs) in premolar teeth using two different light curing units.

Materials and Methods: This in vitro study was performed using 72 freshly extracted human premolars without dental caries and crack. After cavity preparation in the occlusal surface, the teeth were randomly assigned to 12 subgroups of six each and then filled using the single bond\ Z250 system. Irradiation procedures were performed in the experimental group (through tooth structure), first control group (irradiation with conventional method) and second control group (irradiation with increased time) with high and low intensities of Light-emitting diode (LED) and Quartz-tungsten-halogen (QTH) light curing units. Microleakage was evaluated by a stereomicroscope at 40x magnification. The Kruskal-Wallis, Mann-Whitney and logistic regression with a significance level of 0.05 were used for statistical analyses.

Results: The “guided polymerization” technique had no significant effect on the microleakage of the study groups. None of the independent variables (light intensities, light curing units and irradiation protocols) had a statistically significant effect on microleakage.

Conclusion :Irradiation with higher intensity and lower duration (within the limits of examined intensities and durations) and just from occlusal surface using LED or QTH light curing units, in order to reduce the working time in pediatric dentistry is recommended.

Key words: Conservative Adhesive Resin Restoration, Microleakage, Guided Polymerization

Submitted:3 June 2013

Revised:19 Aug 2013

Accepted:7 Sep 2013